

九州大学 正員 井島武士

同 正員 紅口義彦

同 正員 小林彰

同 学生員 ○永田憲行

同 学生員 佐治信弘

1. 緒 言

本論文は捨石ある、または異形ブロックによる防波堤と岸壁の流体力学的な性質を明らかにするための研究である。前論文(透過性水平板防波堤及び岸壁に関する研究)の水平板を取り除き、透過性物質が静水面より上方にある場合とみて差し支える。紙面の都合上、ここでは理論式を導く過程は次の機会に発表することにし、その結果、及び計算値、実験によって検証した結果を報告する。

2. 理 論

1. 透過性防波堤の場合 (記号の説明は省略)

図-1に示すように水深 h で幅 $2l$ の透過性防波堤を考える。(III)
領域(I)(II)(III)での速度ポテンシャルは次式で表わされる。

$$\phi_1(x, z; t) = A e^{i(kx+kt)} \left[\left\{ e^{ik(z-h)} + \left(\beta \sum_{k=1}^{\infty} \frac{P_k + Q_k}{1 - (\frac{k}{k_n})^2} - 1 \right) e^{-ik(z-h)} \right\} \frac{\cosh k(z+h)}{\cosh kh} \right. \\ \left. + \beta N_0 \sum_{n=1}^{\infty} \frac{1}{N_n} e^{ik(z-h)} \left\{ \sum_{k=1}^{\infty} \frac{P_k + Q_k}{1 + (\frac{k}{k_n})^2} \right\} \frac{\cosh kh(z+h)}{\cosh kh} \right] \quad \text{---①}$$

$$\phi_2(x, z; t) = A e^{i(kx+kt)} \frac{N_0}{1-\beta} \sum_{k=1}^{\infty} \left(P_k \frac{\cosh khz}{\cosh kh} + Q_k \frac{\sinh khz}{\sinh kh} \right) \quad \text{---②}$$

$$\phi_3(x, z; t) = A e^{i(kx+kt)} \left[e^{ik(z+h)} \left(\beta \sum_{k=1}^{\infty} \frac{P_k - Q_k}{1 - (\frac{k}{k_n})^2} \right) \frac{\cosh kh(z+h)}{\cosh kh} + \beta N_0 \sum_{n=1}^{\infty} \frac{1}{N_n} e^{ik(z+h)} \left\{ \sum_{k=1}^{\infty} \frac{P_k - Q_k}{1 + (\frac{k}{k_n})^2} \right\} \frac{\cosh kh(z+h)}{\cosh kh} \right] \quad \text{---③}$$

$$\text{反射率 } K_r \text{ と通過率 } K_t \quad K_r = \left| \beta \sum_{k=1}^{\infty} \frac{P_k + Q_k}{1 - (\frac{k}{k_n})^2} - 1 \right|, \quad K_t = \left| \beta \sum_{k=1}^{\infty} \frac{P_k - Q_k}{1 - (\frac{k}{k_n})^2} \right| \quad \text{---④}$$

水面変形 η

$$\text{領域(I)では } \eta_{kh} = e^{i(kh+kt)} \left(e^{ik(z-h)} + \left(\beta \sum_{k=1}^{\infty} \frac{P_k + Q_k}{1 - (\frac{k}{k_n})^2} - 1 \right) e^{-ik(z-h)} + \beta N_0 \sum_{n=1}^{\infty} \frac{1}{N_n} e^{ik(z+h)} \left\{ \sum_{k=1}^{\infty} \frac{P_k - Q_k}{1 + (\frac{k}{k_n})^2} \right\} \frac{\cosh kh(z+h)}{\cosh kh} \right) \quad \text{---⑤}$$

$$\text{領域(II)では } \eta_{kh} = e^{i(kh+kt)} \frac{\beta N_0}{1-\beta} \sum_{k=1}^{\infty} \left(P_k \frac{\cosh khz}{\cosh kh} + Q_k \frac{\sinh khz}{\sinh kh} \right) \quad \text{---⑥}$$

$$\text{領域(III)では } \eta_{kh} = e^{i(kh+kt)} \left(e^{ik(z+h)} \left(\beta \sum_{k=1}^{\infty} \frac{P_k - Q_k}{1 - (\frac{k}{k_n})^2} \right) + \beta N_0 \sum_{n=1}^{\infty} \frac{1}{N_n} e^{ik(z+h)} \sum_{k=1}^{\infty} \frac{P_k - Q_k}{1 + (\frac{k}{k_n})^2} \right) \quad \text{---⑦}$$

$$\text{水平圧力 } P_h \quad \left| \frac{P_h}{\rho g a h} \right| = 2 N_0 \frac{g^2 h}{g} \left| \frac{\beta^2}{1-\beta} \sum_{k=1}^{\infty} \frac{Q_k}{(\sinh kh)^2} \right| \quad \text{---⑧}$$

$$\text{揚圧力 } P_v \quad \left| \frac{P_v}{\rho g a h} \right| = 2 N_0 \frac{g^2 h}{g} \left| \frac{\beta^2}{1-\beta} \sum_{k=1}^{\infty} \frac{\tan khz}{\sinh kh} \cdot \frac{P_k}{(\cosh kh)^2} \right| \quad \text{---⑨}$$

2. 透過性岸壁に対する計算

図-2のように水深 h 、幅 l の岸壁を考えると各領域に対する速度ポテンシャルは次のようにある。

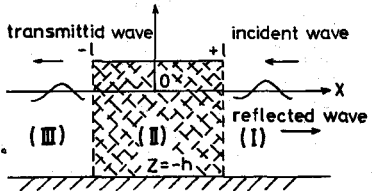


Fig-1 Definition Sketch (Breakwater)

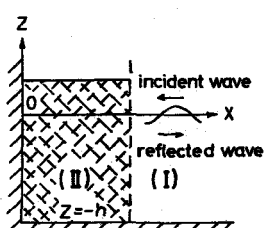


Fig-2 Definition Sketch (Quay Wall)

$$\phi_1(x, z; t) = A e^{i(kx+\omega t)} \left[\left\{ e^{ik(z-l)} + \left(\beta \sum_{k=1}^{\infty} \frac{Z P_k}{1 - (\frac{k}{k_n})^2} - 1 \right) e^{-ik(z-l)} \right\} \frac{\cosh k(z+h)}{\cosh kh} \right. \\ \left. + \beta N_0 \sum_{n=1}^{\infty} \frac{1}{N_n} e^{ik_n(z-l)} \left\{ \sum_{k=1}^{\infty} \frac{Z P_k}{1 + (\frac{k}{k_n})^2} \right\} \frac{\cosh k_n(z+h)}{\cosh kh} \right] \quad \text{--- (1)}$$

$$\phi_2(x, z; t) = A \frac{N_0}{1-\beta} e^{i(kx+\omega t)} \sum_{k=1}^{\infty} Z P_k \frac{\cosh k_n z}{\cosh k_n l} \cdot \frac{\cosh k_n(z+h)}{\cosh kh} \quad \text{--- (2)}$$

$$\text{反射率 } K_r \quad K_r = \beta \sum_{k=1}^{\infty} \frac{Z P_k}{1 - (\frac{k}{k_n})^2} - 1 \quad \text{--- (3)}$$

$$\text{水面波形 } S \quad S/\alpha = \left[e^{ik(z-l)} + \left(\beta \sum_{k=1}^{\infty} \frac{Z P_k}{1 - (\frac{k}{k_n})^2} - 1 \right) e^{-ik(z-l)} + \beta N_0 \sum_{n=1}^{\infty} \frac{1}{N_n} e^{-ik_n(z-l)} \sum_{k=1}^{\infty} \frac{Z P_k}{1 + (\frac{k}{k_n})^2} \right] \quad \text{--- (4)}$$

$$S/\alpha = \frac{\beta N_0}{1-\beta} \sum_{k=1}^{\infty} Z P_k \frac{\cosh k_n z}{\cosh k_n l} \cdot e^{i(kl+\omega t)} \quad \text{--- (5)}$$

$$\text{水平圧力 } P_h \quad \left| \frac{P_h}{\rho g \alpha h} \right| = 2 N_0 \frac{\alpha^2 h}{g} \left| \frac{\beta^2}{1-\beta} \sum_{k=1}^{\infty} \left(1 - \frac{1}{\cosh k_n l} \right) \frac{P_k}{(k_n h)^2} \right| \quad \text{--- (6)}$$

$$\text{揚圧力 } P_v \quad \left| \frac{P_v}{\rho g \alpha h} \right| = 2 N_0 \frac{\alpha^2 h}{g} \left| \frac{\beta^2}{1-\beta} \sum_{k=1}^{\infty} \frac{\tan k_n l}{\sinh k_n h} \cdot \frac{P_k}{(k_n h)^2} \right| \quad \text{--- (7)}$$

$$\text{壁面 } z=0 \text{ における圧力 } P_o \quad \left| \frac{P_o}{\rho g \alpha} \right| = N_0 \frac{\alpha^2 h}{g} \left| \frac{\beta^2}{1-\beta} \sum_{k=1}^{\infty} \frac{Z P_k}{k_n h \cosh k_n l} \cdot \frac{\cosh k_n(z+h)}{\sinh k_n h} \right| \quad \text{--- (8)}$$

3. 実験

写真-1のように透過性物質として5cm角の木材を並べ、その角材を抜き取ることにより空隙率(V)を変えるようにした。

揚圧力の測定は除き、反射率、通過率、鉛直壁にかかる圧力を容積式波高計、及びトランスデューサーを用いて測定した。

造波水槽は幅1m、深さ60cm、長さ20mで水深30cmである。



Photo-1

4. 計算及び実験の結果

1. 反射率 K_r 、通過率 K_t

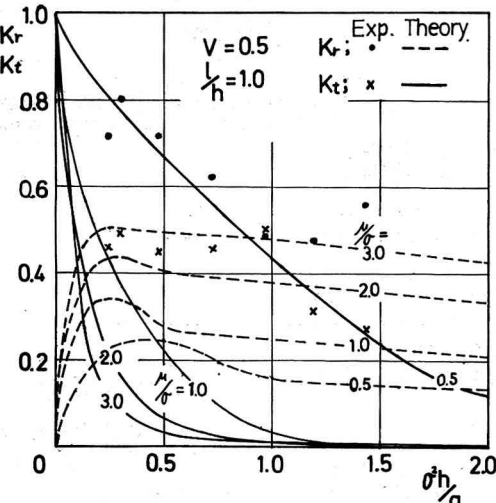


Fig-3 Transmission and Reflection Coefficients (Breakwater)

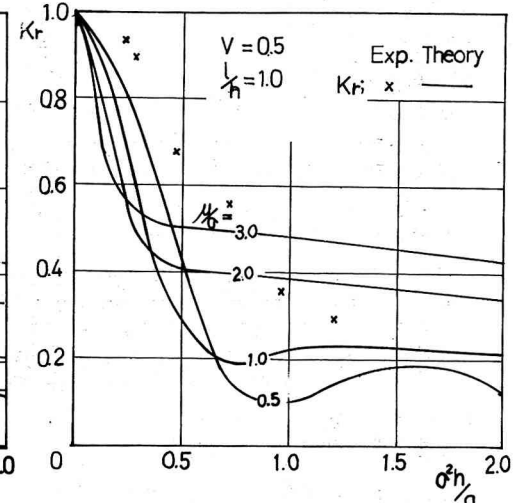


Fig-4 Reflection Coefficients (Quay Wall)

式④及び⑩によって得られた計算の結果と実験値を図3,4に示す。防波堤の場合 K_r, K_c 共実験値の方が計算値より大きめに出ている。岸壁の場合、実験値は計算値の $\mu_0 = 0.5$ 以下に相当するものと思われる。

2. 鋼直壁に作用する圧力

式⑪により計算した結果と実験値を図5に示す。 $\theta^2 h/g$ が小さいほどその圧力は大きい。

実験値の方が理論値より大きめに出ているが、これは実験値が $\mu_0 = 1.0$ 以下に相当するためと思われる。

3. 水面波形

透過性防波堤の水面波形を式⑤, ⑥, ⑦により計算し結果を図6に示す。

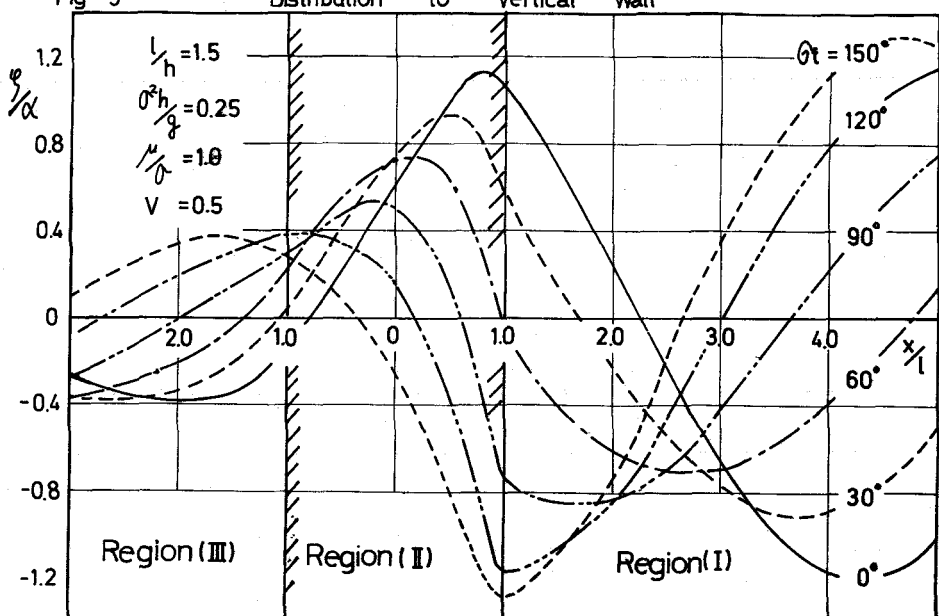
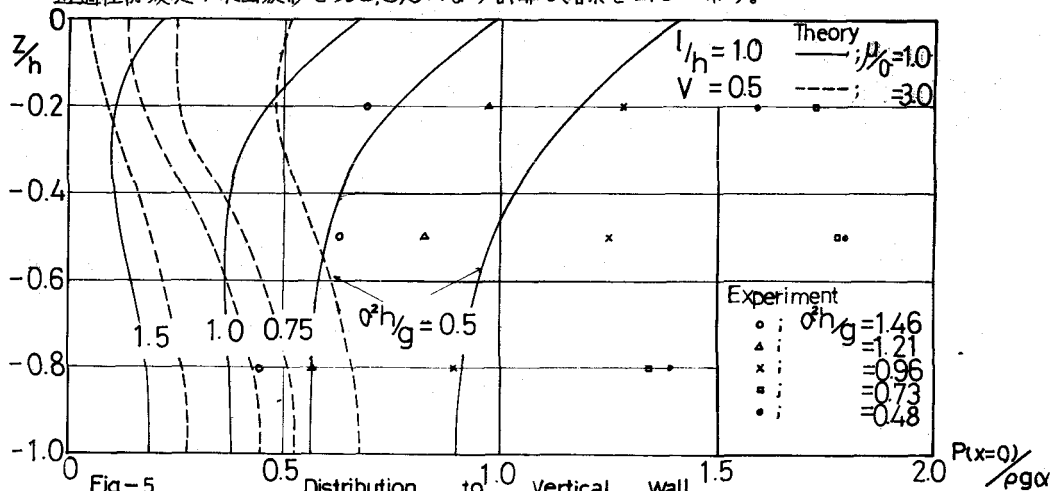


Fig-6 Surface Profile (Breakwater)

5. むすび

計算及び実験共、 $l/h = 0.5, 1.0, 1.5$ （但し防波堤の場合。岸壁の場合は $l/h = 1.0, 2.0, 3.0$ ）、 $D=0.4, 0.5, 0.6$ 、 $\mu/\alpha = 0.5, 1.0, 2.0, 3.0$ の場合について行なった。紙面の都合上、その一部しか記載できなかった。その差異及び理論式の説明、記号の説明など、詳細は次の機会に報告する。理論値と実験値との間に多少のずれはあるが大体の傾向はつかめたと思われる。また、実験では揚圧力の測定及び水面波形の測定を省いたが、これとその測定方法を研究して、次の論文に発表したい。

なお、計算には九大中央計数施設のOKITA C 5090Hを用いた。

参考文献

- ① 井島・尾崎・江口・小林(1970); 水平板による防波堤と岸壁に関する理論的研究(2),
第17回海岸工学講演会論文集
- ② 井島・尾崎・松尾・小林(1969); 直立消波岸壁に関する研究(1),
第16回海岸工学講演会論文集
- ③ Stoker, J.J (1957); "Water Waves", Interscience Publishers, New-York.